

FIG. 3

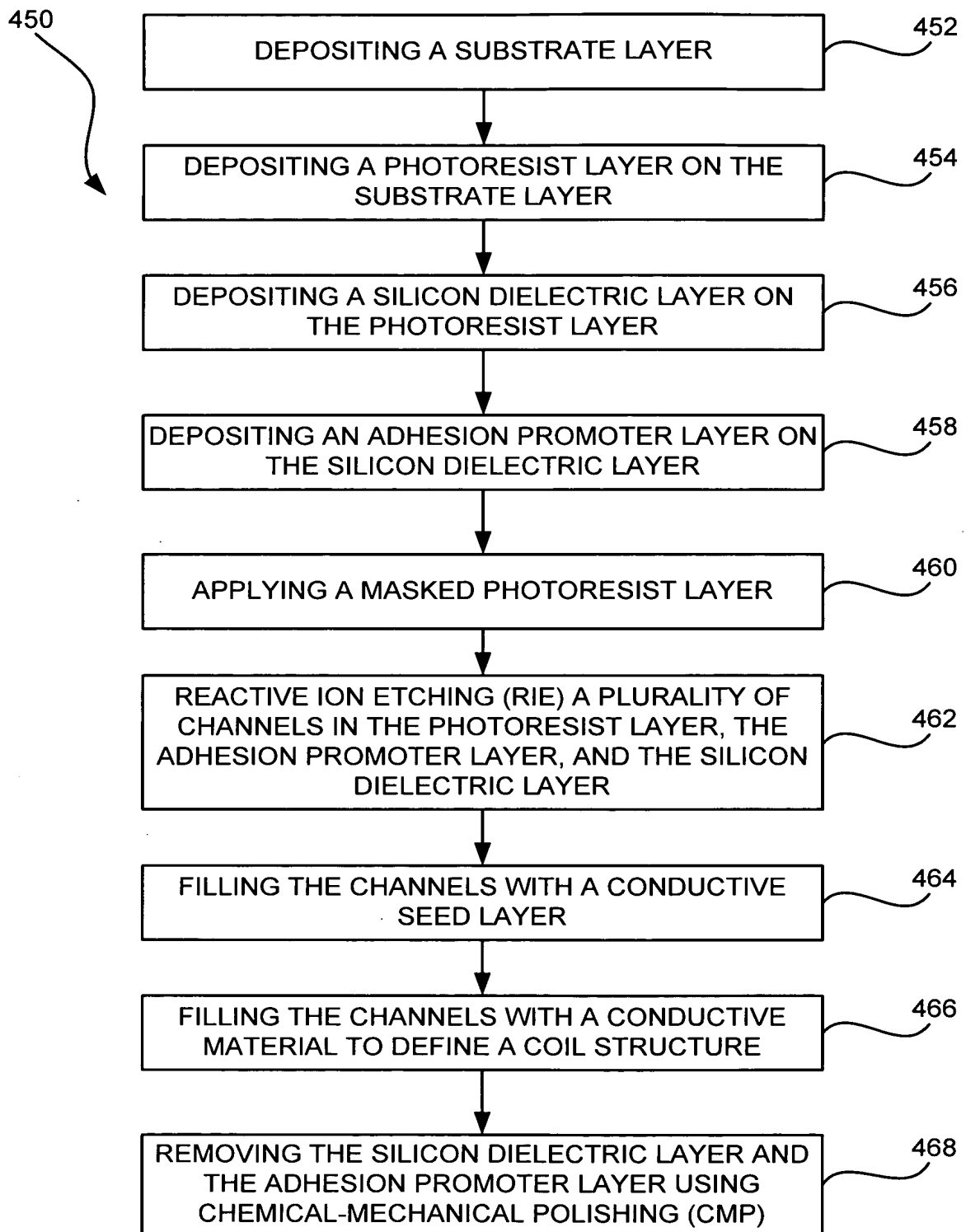


FIG. 4

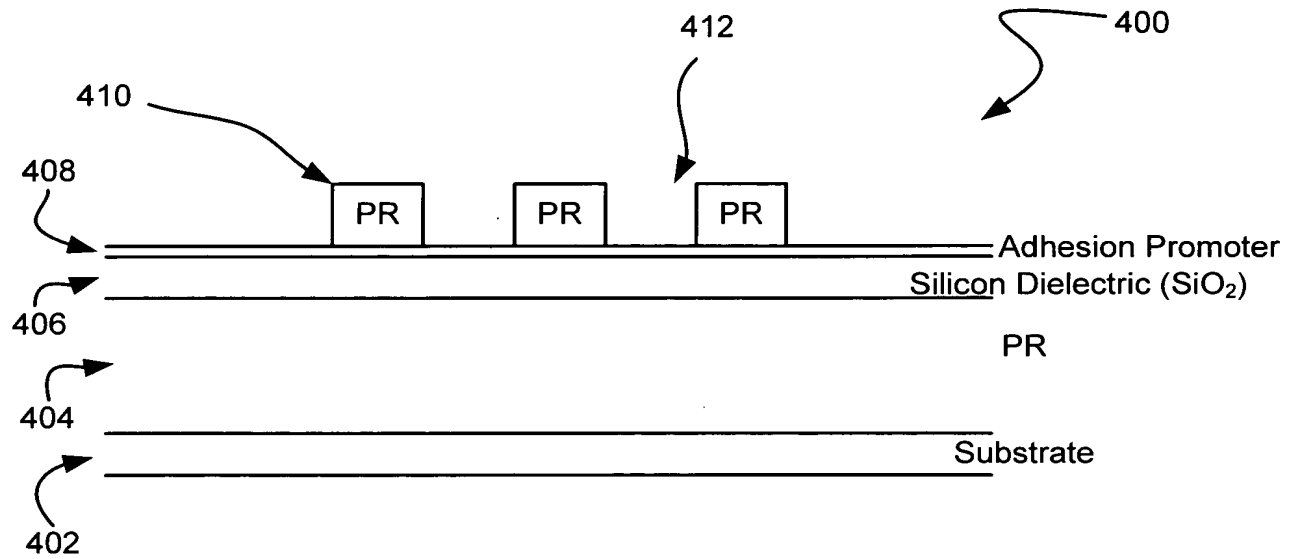


FIG. 4A

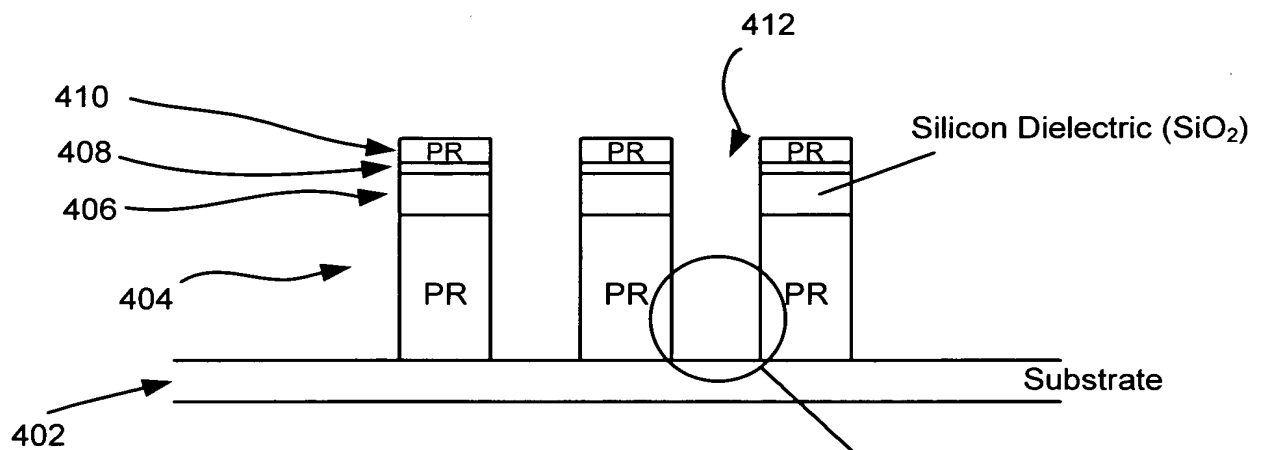
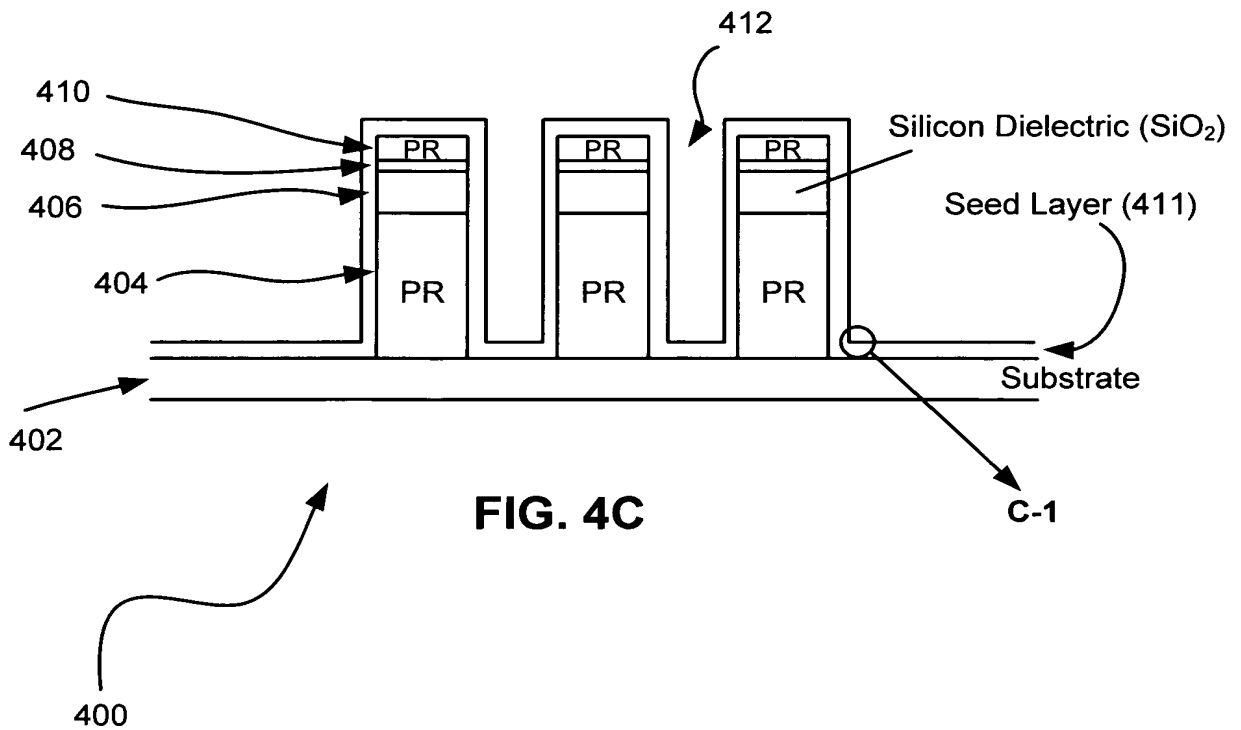
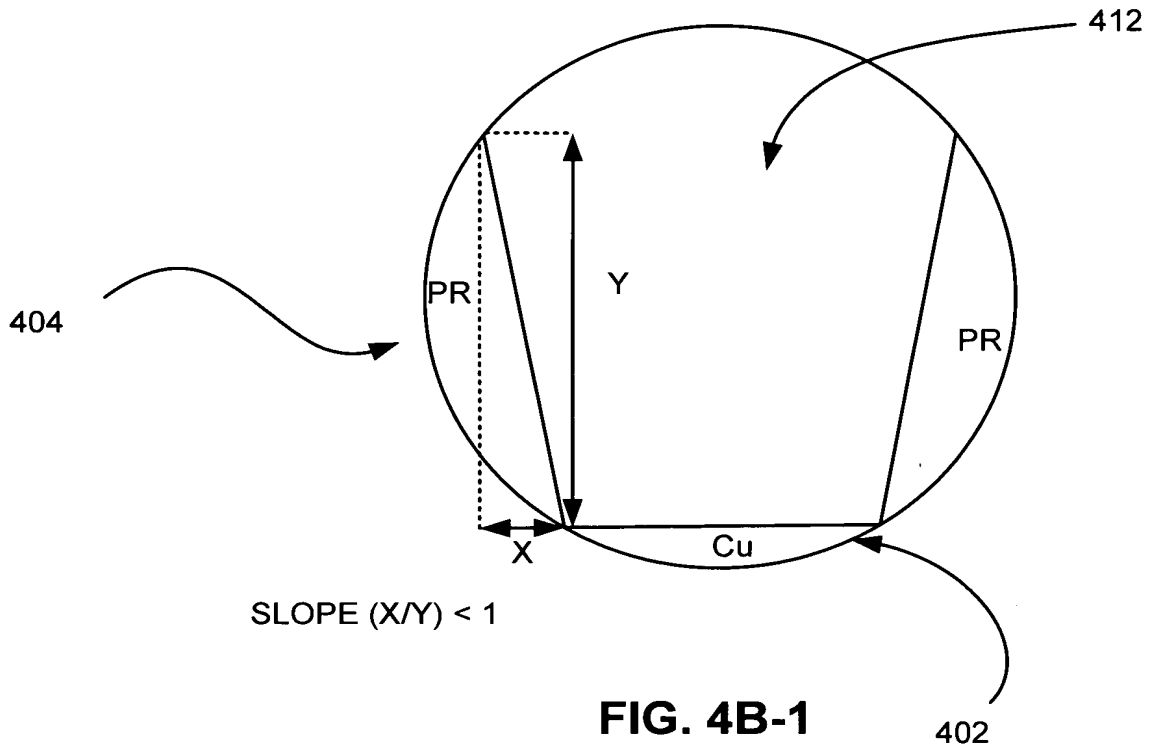


FIG. 4B

FIG. 4B-1

400



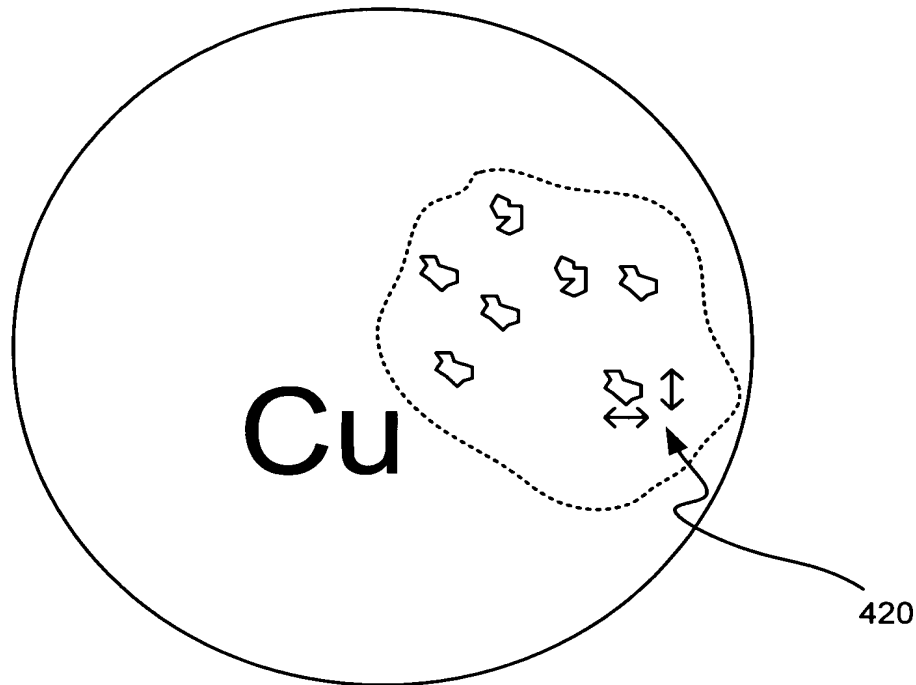


FIG. 4C-1

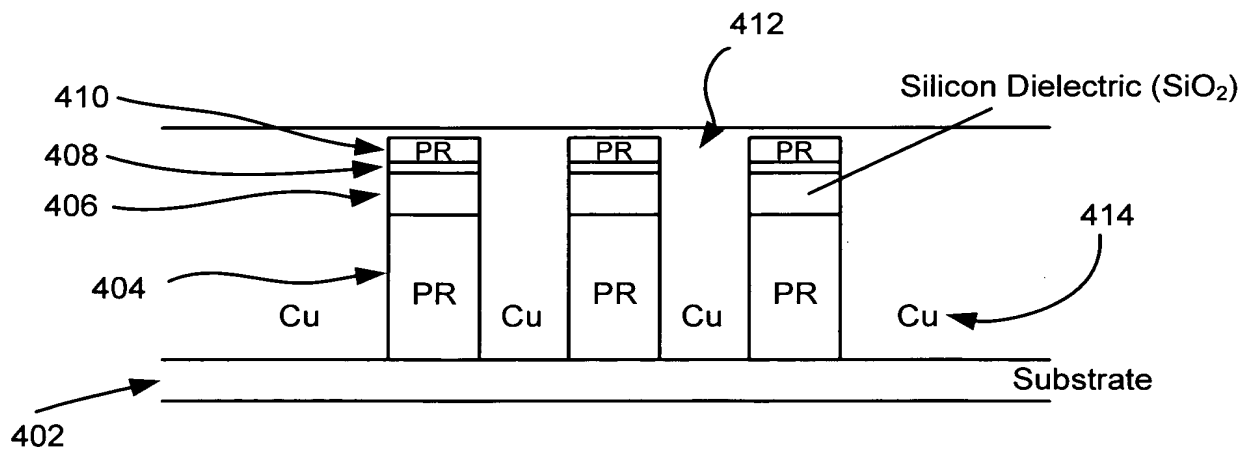


FIG. 4D

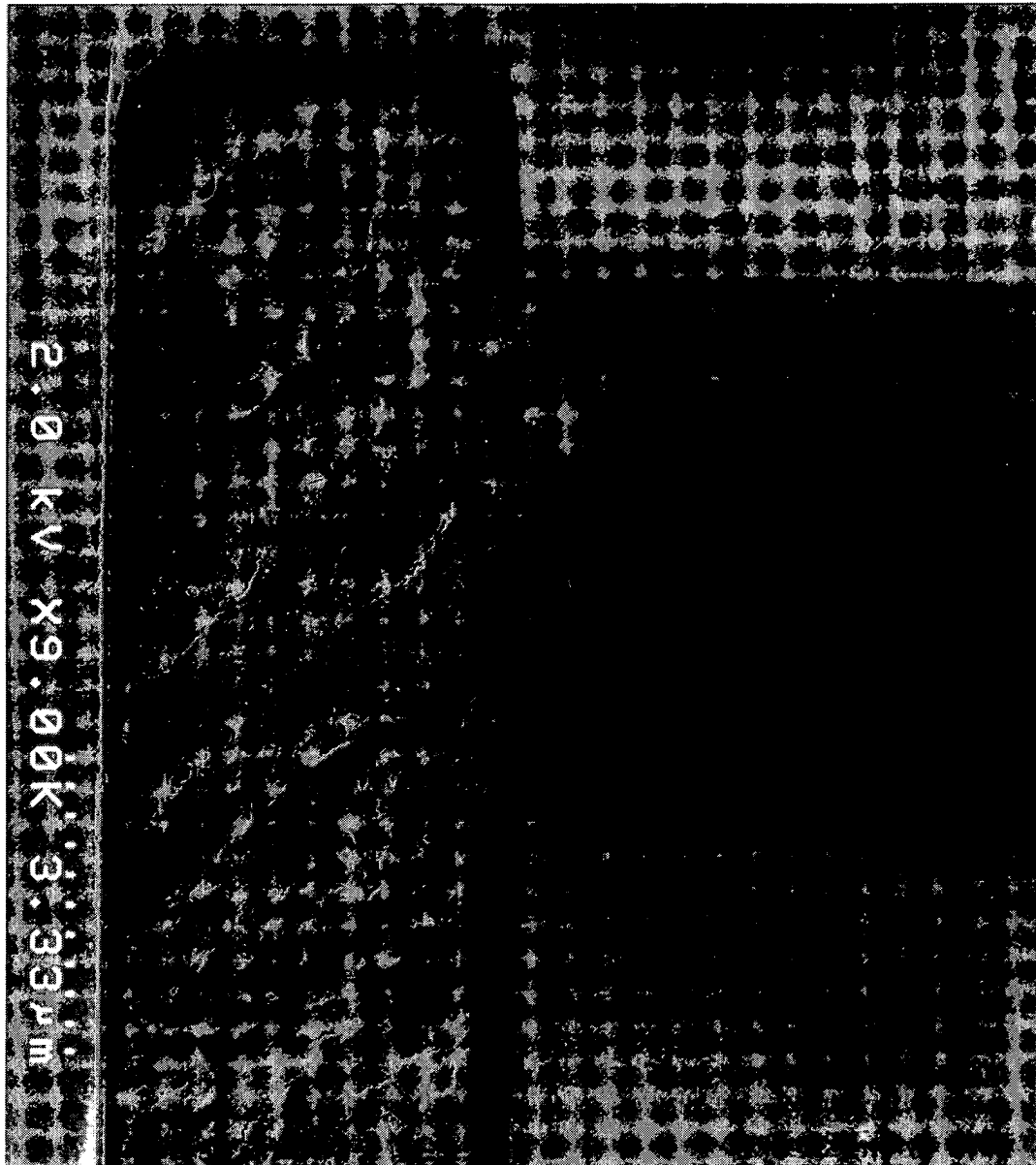


FIG. 4C-2

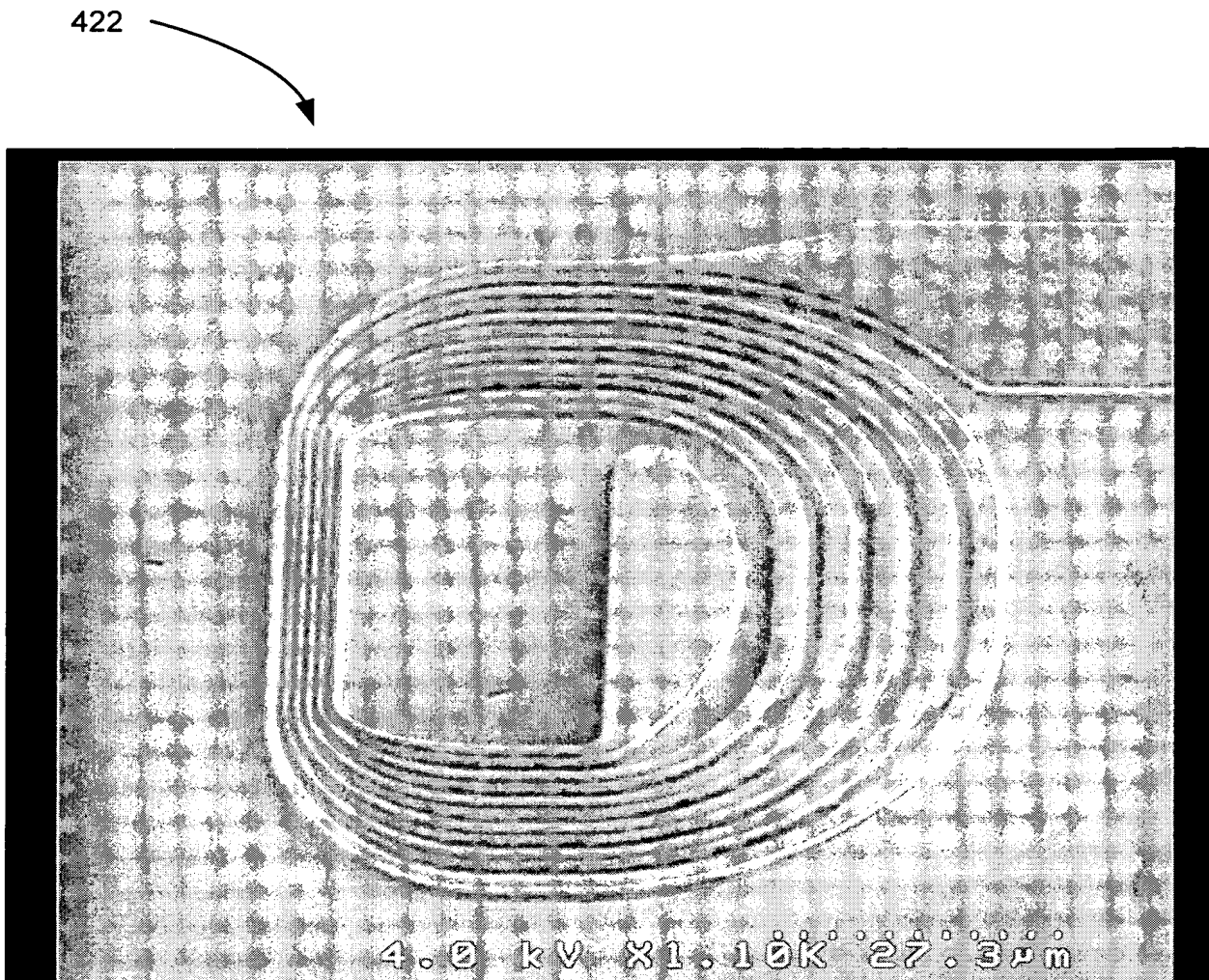


FIG. 4C-3

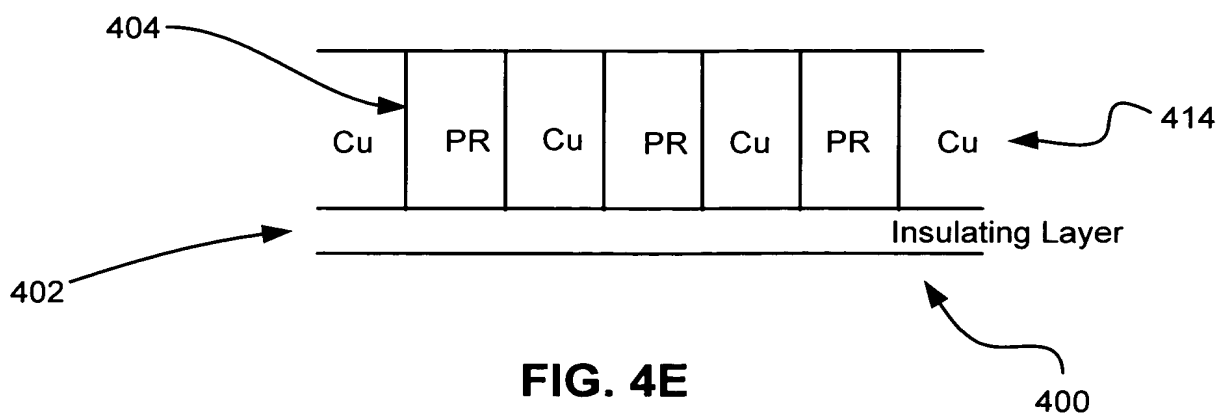


FIG. 4E

9/12
HSIAO et al.
HIT1P041B/SJO9-2001-0089US3(LN)

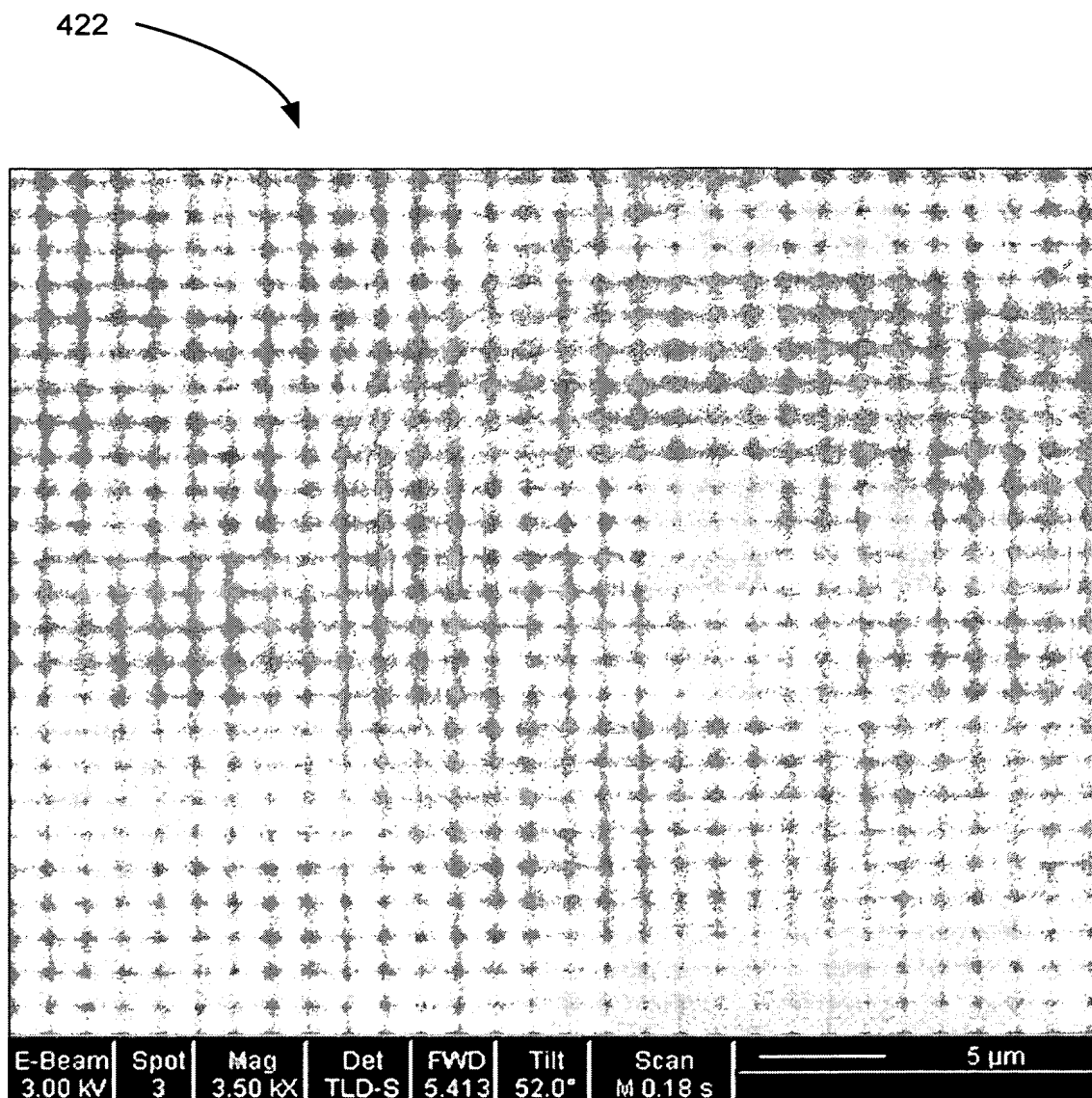


FIG. 4F

10/12
HSIAO et al.
HIT1P041B/SJO9-2001-0089US3(LN)

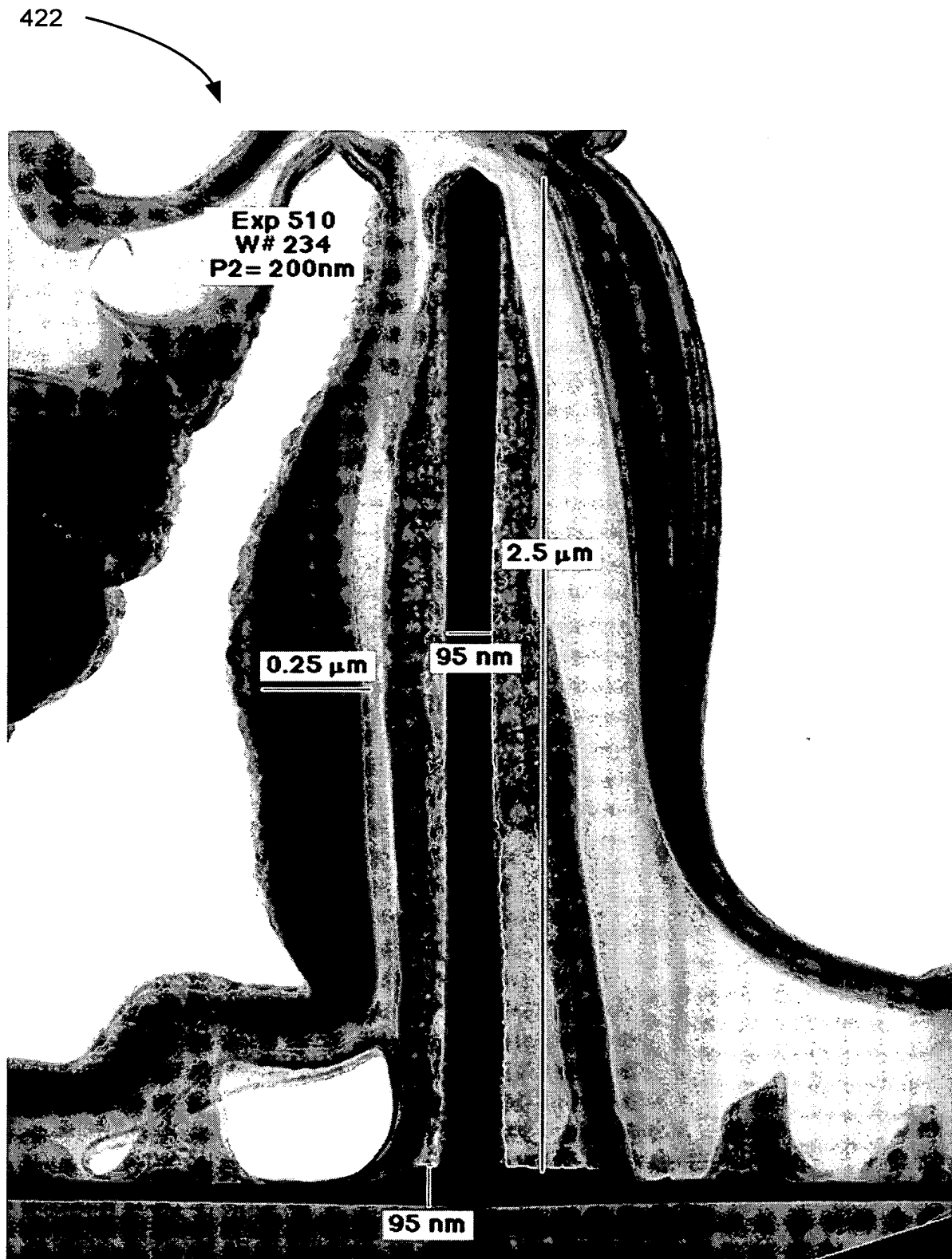


FIG. 4F-1

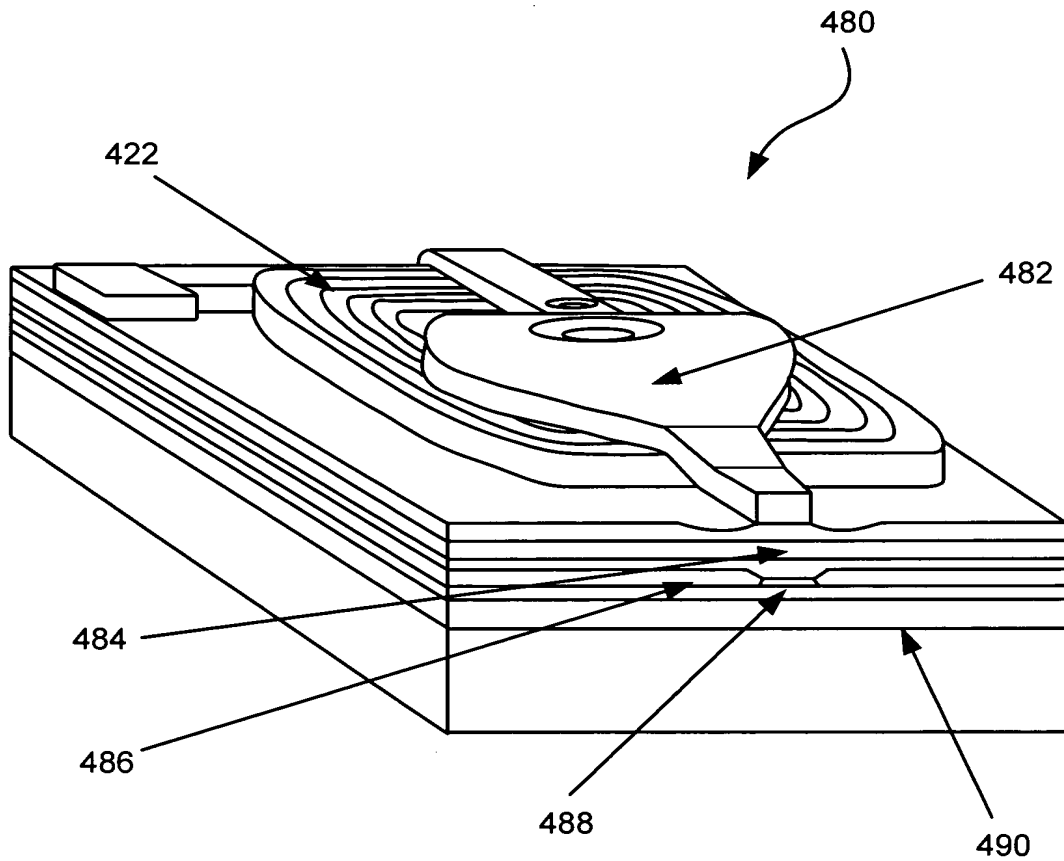


FIG. 4G

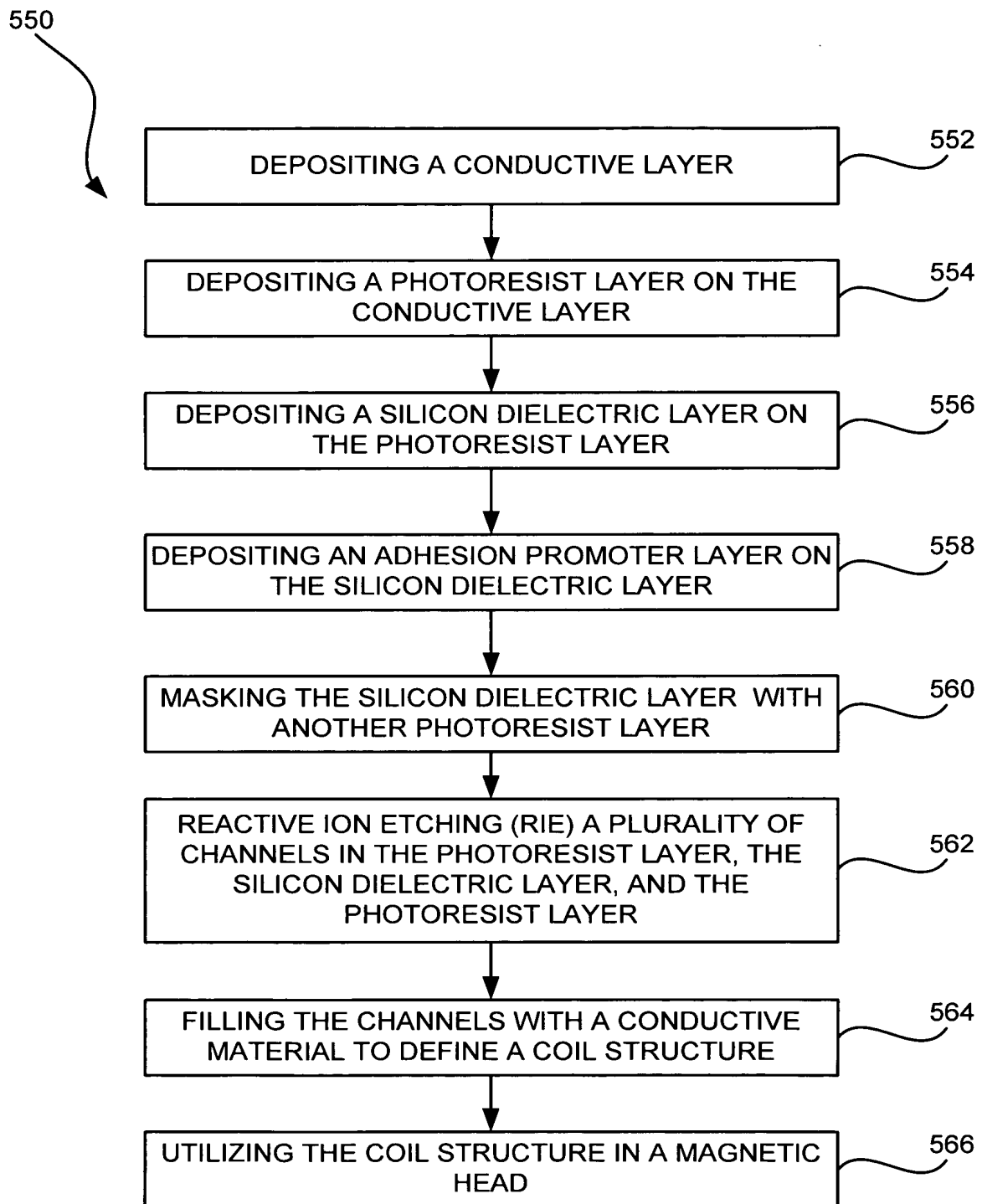


FIG. 5